

# Numerisches Programmieren (IN0019)

Frank R. Schmidt

Winter Semester 2016/2017

8. Iterationsverfahren . . . . .	2
<b>Iterationsverfahren</b>	<b>3</b>
Iterationsverfahren . . . . .	4
Heron-Verfahren . . . . .	5
Fixpunktgleichung . . . . .	6
Konvergenzverhalten . . . . .	7
<b>Fixpunktsätze</b>	<b>8</b>
Brouwerscher Fixpunktsatz . . . . .	9
Brouwersche Fixpunkte (Bsp) . . . . .	10
Anziehender Fixpunkt . . . . .	11
Kontrahierende Abbildungen . . . . .	12
Konvergente Iterationsfolge . . . . .	13
Banachscher Fixpunktsatz . . . . .	14
Klassifikation von Fixpunkten . . . . .	15
Konvergenzgeschwindigkeit . . . . .	16
Konvergenzgeschwindigkeit (Heron-Verfahren) . . . . .	17
<b>Newton-Verfahren</b>	<b>18</b>

Newton-Verfahren . . . . .	19
Newton-Verfahren zur Wurzelberechnung . . . . .	20
Newton-Verfahren . . . . .	21
Fixpunkte der Newton-Iteration . . . . .	22
Quadratische Konvergenz . . . . .	23
Mehrfache Nullstelle . . . . .	24
Konvergenz bei mehrfacher Nullstelle . . . . .	25
<b>Nullstellen-Berechnung</b>	<b>26</b>
Sekantenverfahren . . . . .	27
Sekanten-Verfahren . . . . .	28
Bisektionsverfahren . . . . .	29
Bisektionsverfahren . . . . .	30
Regula Falsi . . . . .	31
Praktische Nullstellen-Berechnung . . . . .	32

**Iterationsverfahren**

Oft können wir keine direkte Lösung einer Gleichung angeben.

Wenn wir eine Lösung (mathematisch) angeben können, lässt sich diese nicht immer mit Hilfe von endlich vielen Grundoperationen angeben, z.B.  $\sqrt{2} \notin \mathbb{Q}$ .

Anstelle einer direkten Lösung kann man aber oft ein **Iterationsverfahren** angeben, d.h. wir starten mit einer (schlechten) Approximation und verbessern sie in jedem Schritt.

Wir beginnen also mit einem **Startwert**  $x_0$  und definieren die Folge

$$(x_n)_{n \in \mathbb{N}} \qquad x_{n+1} := \Phi(x_n),$$

wobei  $\Phi$  eine wohldefinierte **stetige** Rechenvorschrift ist.

Die Generierung dieser Folge heißt **Iterationsverfahren**.

## Heron-Verfahren

Eins der ersten Iterationsverfahren ist das **Heron-Verfahren** zur Berechnung der Quadratwurzel  $\sqrt{a}$ . Das Verfahren wurde von Heron etwa um 100 n. Chr. beschrieben, war aber schon in Babylon (ca. 1750 v. Chr.) bekannt.

Nach der Wahl eines Startwerts  $x_0 > 0$  berechnet man

$$x_{n+1} = \Phi(x_n) \qquad \Phi(x) = \frac{x + \frac{a}{x}}{2}$$

Wählt man  $x_0 = \frac{a+1}{2}$ , so ergeben sich bei der Berechnung von  $\sqrt{2}$ ,  $\sqrt{3}$  bzw.  $\sqrt{4}$  folgende Reihen

$a$	$x_0$	$x_1$	$x_2$	$x_3$
2	1.50000...	1.41667...	1.41422...	1.41421...
3	2.00000...	1.75000...	1.73214...	1.73205...
4	2.50000...	2.05000...	2.00061...	2.00000...

## Fixpunktgleichung

Wir sind nur an solchen **Iterationsfolgen**  $(x_n)_{n \in \mathbb{N}}$  interessiert, die konvergieren. Dann gilt aber für den Grenzwert  $x^* := \lim_{n \rightarrow \infty} x_n$  gerade

$$x^* = \lim_{n \rightarrow \infty} x_{n+1} = \lim_{n \rightarrow \infty} \Phi(x_n) = \Phi\left(\lim_{n \rightarrow \infty} x_n\right) = \Phi(x^*)$$

Für eine Funktion  $\Phi: X \rightarrow X$ , nennen wir  $x^* \in X$  mit  $\Phi(x^*) = x^*$  einen **Fixpunkt** von  $\Phi$ . Wir haben gesehen, dass jede konvergente Iterationsfolge gegen einen Fixpunkt konvergiert.

Beim Heron-Verfahren gilt für die Fixpunkte  $x^*$  gerade

$$0 = x^* - \Phi(x^*) = x^* - \frac{x^* + \frac{a}{x^*}}{2} = \frac{x^{*2} - a}{2x^*},$$

d.h.  $\sqrt{a}$  und  $-\sqrt{a}$  sind die einzigen Fixpunkte.

## Konvergenzverhalten

Das Konvergenzverhalten hängt im Allgemeinen vom Startwert ab.  
Betrachten wir hierzu folgende Iterationsvorschrift

$$\begin{aligned}\Phi: \mathbb{R} &\rightarrow \mathbb{R} \\ x &\mapsto x^2\end{aligned}$$

mit den Fixpunkten 0 und 1.

$x_0$	$x_n$	$\lim_{n \rightarrow \infty} x_n$
0	0	0
$\pm 1$	1	1
$ x_0  < 1$	$x_0^{2n}$	0
$ x_0  > 1$	$x_0^{2n}$	$\infty$

Da der Fixpunkt 1 nur vorkommt wenn man mit  $\pm 1$  initialisiert, nennt man 1 einen **abstossenden Fixpunkt**.

**Brouwerscher Fixpunktsatz**

Der **Brouwersche Fixpunktsatz** besagt, dass eine stetige Funktion  $\Phi: B_r(x) \rightarrow B_r(x)$  immer (mindestens) einen Fixpunkt besitzt, wobei  $B_r(x)$  den folgenden Ball beschreibt

$$B_r(x) = \{y \in \mathbb{R}^n \mid \|y - x\| \leq r\}$$

Da der allgemeine Beweis recht kompliziert ist, beschäftigen wir uns nur mit dem Fall  $n = 1$ . Die Aussage des Satzes ist dann, dass jede stetige Funktion  $\Phi: [a, b] \rightarrow [a, b]$  einen Fixpunkt besitzt.

**1. Fall:**  $\Phi(a) = a$  oder  $\Phi(b) = b$ .

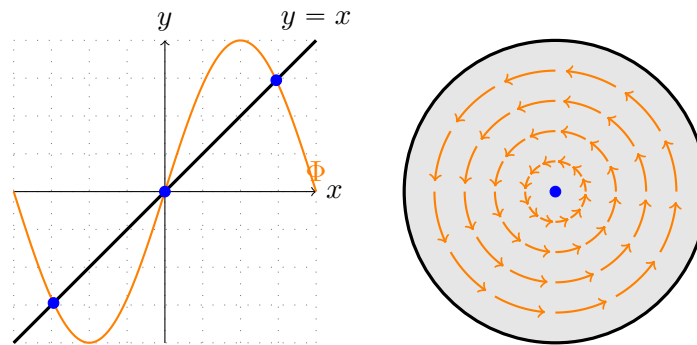
Dann ist nichts zu zeigen und der Satz ist bewiesen.

**2. Fall:**  $\Phi(a) > a$  und  $\Phi(b) < b$ .

Für die Funktion  $f(x) = \Phi(x) - x$  gilt  $f(a) > 0$  und  $f(b) < 0$ .

Aus Stetigkeitsgründen (Zwischenwertsatz) muss ein  $x \in ]a; b[$  existieren, so dass  $f(x) = 0$  gilt und  $x$  ist ein Fixpunkt ( $\Phi(x) - x = 0$ ).

## Brouwersche Fixpunkte (Bsp)



Der Brouwersche Fixpunktsatz sagt etwas darüber aus, **ob ein Fixpunkt existiert**, aber nicht wie er zu finden ist.

Im Folgenden wollen wir solche Fixpunkte betrachten, die durch **iteriertes Anwenden** der Funktion  $\Phi$  gefunden werden können.



## Anziehender Fixpunkt

Wir wissen nun, dass jede stetige Funktion  $\Phi: [a, b] \rightarrow [a, b]$  einen Fixpunkt  $x^*$  besitzt. Damit wir  $\Phi$  für ein Iterationsverfahren nutzen können, muss  $x^*$  ein **anziehender Fixpunkt** sein, d.h. es sollte mindestens gelten

$$|\Phi(x) - x^*| < |x - x^*|$$

Wäre die Funktion differenzierbar, gäbe es nach dem Mittelwertsatz ein  $\xi \in [x, x^*]$  mit

$$|\Phi'(\xi)| = \left| \frac{\Phi(x) - \Phi(x^*)}{x - x^*} \right| < 1$$

Man könnte sich also alleine auf solche Funktionen  $\Phi$  beschränken, die die Ungleichung  $-1 < \Phi'(x) < 1$  erfüllen. Um weiter mit stetigen Abbildungen arbeiten zu können, betrachten wir stattdessen **kontrahierende Abbildungen**.

## Kontrahierende Abbildungen

Sei eine Abbildung  $\Phi: B \rightarrow B$  gegeben, wobei  $B \subset \mathbb{R}^n$  ein  $n$ -dimensionaler Ball ist. Wir nennen  $\Phi$  eine **kontrahierende Abbildung**, wenn es eine Konstante  $L < 1$  gibt, so dass Folgendes gilt:

$$\|\Phi(x) - \Phi(y)\| \leq L \|x - y\| \quad \forall x, y \in B$$

Kontrahierende Abbildungen besitzen **maximal einen Fixpunkt**, denn für zwei unterschiedliche Fixpunkte  $x^*$  und  $\hat{x}$  gilt

$$\|x^* - \hat{x}\| = \|\Phi(x^*) - \Phi(\hat{x})\| < \|x^* - \hat{x}\|,$$

was zu einem Widerspruch führt.

Zusammen mit dem Brouwerschen Fixpunktsatz wissen wir also, dass eine kontrahierende Abbildung einen **eindeutigen Fixpunkt** besitzt.

## Konvergente Iterationsfolge

Sei  $\Phi: B \rightarrow B$  eine kontrahierende Abbildung, die einen Fixpunkt  $x^* \in B$  besitzt, dann konvergiert die Iterationsfolge  $(x_n)_{n \in \mathbb{N}}$  mit  $x_{n+1} = \Phi(x_n)$  gegen diesen Fixpunkt, denn es gilt

$$\|x_n - x^*\| = \|\Phi(x_{n-1}) - \Phi(x^*)\| \leq L \|x_{n-1} - x^*\| \leq \dots \leq L^n \|x_0 - x^*\|,$$

d.h.  $\|x_n - x^*\|$  ist eine Nullfolge und somit ist  $\lim_{n \rightarrow \infty} x_n = x^*$ .

Bis jetzt haben wir nur solche Abbildungen betrachtet, die bereits einen Fixpunkt besitzen. Betrachten wir nun eine allgemeine Abbildung  $\Phi: X \rightarrow X$ , so wollen wir zeigen, dass die Iterationsfolge eine **Cauchy-Folge** ist.

Analog zum oben Bewiesenen haben wir

$$\|x_{n+1} - x_n\| = \|\Phi(x_n) - \Phi(x_{n-1})\| \leq L \|x_n - x_{n-1}\| \leq \dots \leq L^n \|x_1 - x_0\|.$$

## Banachscher Fixpunktsatz

Sei  $n \in \mathbb{N}$  beliebig, dann gilt für alle  $m > n$  gerade

$$\|x_m - x_n\| \leq \sum_{k=n}^{m-1} \|x_{k+1} - x_k\| \leq \sum_{k=n}^{m-1} L^k \|x_1 - x_0\| < L^n \cdot \frac{\|x_1 - x_0\|}{1 - L},$$

d.h.  $(x_n)_{n \in \mathbb{N}}$  ist eine Cauchy-Folge.

Damit erhalten wir den **Banachschen Fixpunktsatz**

**Theorem 1.** Sei  $X \subset \mathbb{R}^n$  eine abgeschlossene, nicht-leere Menge und  $\Phi: X \rightarrow X$  eine kontrahierende Abbildung. Dann besitzt  $\Phi$  einen eindeutigen Fixpunkt  $x^*$  und die Folge

$$(x_n)_{n \in \mathbb{N}} \qquad x_{n+1} = \Phi(x_n)$$

konvergiert für jeden Startwert  $x_0 \in X$  gegen diesen Fixpunkt.

## Klassifikation von Fixpunkten

Sei  $\Phi: X \rightarrow X$  eine  $C^1$ -Abbildung und  $x^*$  ein Fixpunkt von  $\Phi$ .

$x^*$  ist ein **anziehender Fixpunkt**, wenn  $|\Phi'(x^*)| < 1$  ist.

Dann ist  $|\Phi'|$  auch in einer Umgebung von  $x^*$  durch ein Zahl  $L < 1$  nach oben beschränkt und wir können in dieser Umgebung den Banachschen Fixpunkt anwenden.

$x^*$  ist ein **abstossender Fixpunkt**, wenn  $|\Phi'(x^*)| > 1$  ist.

Dann ist  $|\Phi'|$  auch in einer Umgebung von  $x^*$  durch ein Zahl  $L > 1$  nach unten beschränkt und jeder Startwert entfernt sich durch die Anwendung von  $\Phi$  weiter von  $x^*$ .

Der Fall  $|\Phi'(x^*)| = 1$  ist oft nicht eindeutig.

Betrachten wir z.B.  $\Phi(x) = e^x - 1$  mit  $x^* = 0$  und  $\Phi'(x^*) = 1$ .

Iterationsfolgen mit Startwerten  $x_0 < 0$  konvergieren zu  $x^*$ .

Iterationsfolgen mit Startwerten  $x_0 > 0$  divergieren.

## Konvergenzgeschwindigkeit

Aus praktischer Sicht ist nicht nur die Konvergenz einer Folge sondern auch die **Geschwindigkeit** wichtig mit der die Konvergenz stattfindet.

Beide Folgen  $(a_n)_{n \in \mathbb{N}}$  und  $(b_n)_{n \in \mathbb{N}}$  mit

$$a_n = \frac{1}{n}$$

$$b_n = \frac{1}{2^n}$$

sind Nullfolgen, allerdings unterschreitet man eine Fehlerschranke  $\varepsilon$  bei der Folge  $(b_n)$  wesentlich schneller als bei  $(a_n)$ .

Wir sagen, dass eine Folge  $(x_n)_{n \in \mathbb{N}}$  mit  $x_n \rightarrow x^*$  mit der **Ordnung**  $p \in \mathbb{N}$  konvergiert falls  $c > 0$  existiert, so dass

$$\|x_{n+1} - x^*\| \leq c \|x_n - x^*\|^p$$

Für  $p = 1$  spricht man von **linearer Konvergenz**.

Für  $p = 2$  spricht man von **quadratischer Konvergenz**.



## Konvergenzgeschwindigkeit (Heron-Verfahren)

Eine Iterationsfolge konvergiert also linear, wenn die Iterationsvorschrift  $\Phi$  die Voraussetzungen des Banachschen Fixpunktsatzes erfüllt.

Nehmen wir an, dass wir beim Heron-Verfahren ein Folgenglied  $x_n = \sqrt{a}(1 + \varepsilon)$  haben. Dann gilt  $|x_n - x^*| = \sqrt{a}|\varepsilon|$ .

Weiter haben wir

$$x_{n+1} = \frac{x_n + \frac{a}{x_n}}{2} = \frac{x_n^2 + a}{2x_n} = \frac{a(2 + 2\varepsilon + \varepsilon^2)}{2\sqrt{a}(1 + \varepsilon)} \leq \sqrt{a} \left(1 + \frac{\varepsilon^2}{2}\right).$$

Somit gilt für den Fehler

$$|x_{n+1} - x^*| \leq \frac{\sqrt{a}}{2} \varepsilon^2 = \frac{1}{2\sqrt{a}} |x_n - x^*|^2,$$

was die **quadratische Konvergenz des Heron-Verfahrens** für  $a \neq 0$  beweist.

**Newton-Verfahren**

Das Ziel des Newton-Verfahrens ist es, eine Nullstelle einer Funktion  $f: \mathbb{R} \rightarrow \mathbb{R}$  zu finden. Hierzu ersetzen wir  $f$  durch seine lineare Taylorapproximation, dessen Nullstelle einfach zu berechnen ist.

Sei also ein Startwert  $x_0 \in \mathbb{R}$  gegeben. Dann gilt für die Nullstelle  $x$  gerade

$$0 = f(x) = f(x_0 + (x - x_0)) \approx f(x_0) + f'(x_0)(x - x_0)$$

Die Nullstelle der rechten Seite ist

$$x = x_0 - \frac{f(x_0)}{f'(x_0)}.$$

Somit erhalten wir die **Newton-Iteration**

$$\Phi(x) = x - \frac{f(x)}{f'(x)}.$$

## Newton-Verfahren zur Wurzelberechnung

Wollen wir  $\sqrt{a}$  mit Hilfe des **Newton-Verfahrens** lösen, müssen wir eine Nullstelle von

$$f(x) = x^2 - a$$

berechnen.

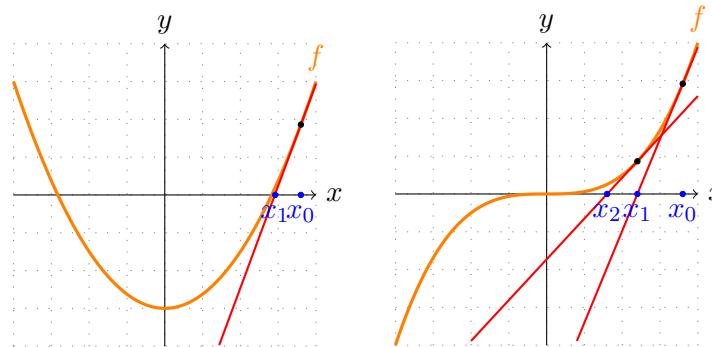
Die Newton-Iteration ist dann

$$\Phi(x) = x - \frac{f(x)}{f'(x)} = x - \frac{x^2 - a}{2x} = \frac{x^2 + a}{2x} = \frac{x + \frac{a}{x}}{2}.$$

Dies entspricht exakt dem **Heron-Verfahren**.

Wir können also das Heron-Verfahren als einen Spezialfall des Newton-Verfahrens verstehen.

## Newton-Verfahren



Geometrisch wird eine **Tangente** an den Graphen von  $f$  bei  $(x_n, f(x_n))$  gelegt und der eindeutige **Schnittpunkt** mit der  $x$ -Achse berechnet. Dieser Schnittpunkt  $x_{n+1}$  wird bei der nächsten Iteration benutzt.





## Fixpunkte der Newton-Iteration

Wenn die Newton-Iteration konvergiert, konvergiert sie zu einem Fixpunkt von  $\Phi$ , d.h. es muss gelten

$$0 = x^* - \Phi(x^*) = \frac{f(x^*)}{f'(x^*)}$$

Somit kann eine Reihe die auf der Newton-Iteration  $\Phi$  beruht nur gegen eine Nullstelle von  $f$  konvergieren.

Gilt für die Nullstelle  $x^*$  außerdem  $f'(x^*) \neq 0$ , so ist

$$\Phi'(x^*) = \frac{d}{dx} \left[ x - \frac{f(x^*)}{f'(x^*)} \right] = \frac{f(x^*)f''(x^*)}{f'(x^*)^2} = 0,$$

d.h. die Nullstelle  $x^*$  ist ein **anziehender Fixpunkt** der Newton-Iteration.

## Quadratische Konvergenz

Wenn die Newton-Iteration gegen die Nullstelle  $x^*$  mit  $f'(x^*) \neq 0$  konvergiert, kann man sogar quadratische Konvergenz zeigen. Hierzu betrachten wir die quadratische Taylor-Reihe, die bei  $x_n$  entwickelt wird ( $\xi \in [x_n; x^*]$ ):

$$0 = f(x^*) = f(x_n) + f'(x_n)(x^* - x_n) + \frac{1}{2}f''(\xi)(x^* - x_n)^2$$

Daraus ergibt sich

$$\frac{f(x_n)}{f'(x_n)} + (x^* - x_n) = -\frac{f''(\xi)}{2f'(x_n)}(x^* - x_n)^2$$

In einer Umgebung von  $x^*$  lässt sich  $\frac{f''(\xi)}{2f'(x_n)}$  durch  $M > 0$  beschränken und

$$|x^* - x_{n+1}| \leq M |x^* - x_n|^2$$

beweist die **quadratische Konvergenz**.

## Mehrfache Nullstelle

Wenn  $x^*$  eine Nullstelle von  $f: \mathbb{R} \rightarrow \mathbb{R}$  ist, so kann man eine Funktion  $g: \mathbb{R} \rightarrow \mathbb{R}$  finden, so dass  $f(x) = g(x) \cdot (x - x^*)$  gilt:

$$g_1(x) = \begin{cases} \frac{f(x)}{x-x^*} & \text{falls } x \neq x^* \\ f'(x^*) & \text{falls } x = x^* \end{cases}$$

Ist  $f'(x^*) = 0$  kann man diese Operation noch einmal durchführen und erhält eine Darstellung  $f(x) = g_2(x) \cdot (x - x^*)^2$  mit  $g_2(x^*) = \frac{f''(x^*)}{2}$ .

Gilt nun  $0 = f(x^*) = f'(x^*) = \dots = f^{(m-1)}(x^*)$  und  $f^{(m)}(x^*) \neq 0$ , so heißt  $m$  die **Vielfachheit der Nullstelle**  $x^*$ . Außerdem hat man die Darstellung

$$f(x) = g(x) \cdot (x - x^*)^m \qquad g(x^*) = \frac{f^{(m)}(x^*)}{m!} \neq 0$$

## Konvergenz bei mehrfacher Nullstelle

Sei  $x^*$  eine Nullstelle von der Vielfachheit  $m > 1$ , dann gilt

$$f(x) = g(x) \cdot (x - x^*)^m$$
$$f'(x) = g'(x) \cdot (x - x^*)^m + m \cdot g(x) \cdot (x - x^*)^{m-1}$$

Für die Newton-Iteration gilt also

$$\Phi(x) = x - \frac{g(x) \cdot (x - x^*)}{g'(x) \cdot (x - x^*) + m \cdot g(x)}$$

und wir haben wegen

$$\Phi'(x^*) = 1 - \frac{g(x^*)}{m \cdot g(x^*)} = 1 - \frac{1}{m}$$

nur **lineare Konvergenz**.

**Sekantenverfahren**

Das **Sekantenverfahren** ist vom Newton-Verfahren inspiriert.

Anstatt die Funktion durch die Tangente an einem Punkt zu approximieren, approximiert man sie durch eine Sekante, die durch zwei Punkte verläuft.

Das heisst man ersetzt  $f(x)$  durch

$$s(x) = f(x_{k-1}) + \frac{f(x_k) - f(x_{k-1})}{x_k - x_{k-1}}(x - x_{k-1})$$

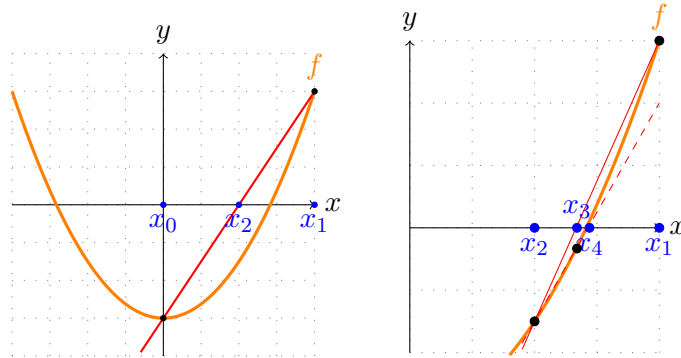
Die Sekante hat ihre Nullstelle bei

$$s(x) = x_{k-1} - \frac{f(x_{k-1})(x_k - x_{k-1})}{f(x_k) - f(x_{k-1})} = \frac{x_{k-1}f(x_k) - x_k f(x_{k-1})}{f(x_k) - f(x_{k-1})}$$

Man kann zeigen, dass das Sekantenverfahren eine Konvergenzordnung von  $1 < p < 2$  hat und in der Nähe der Nullstelle numerisch instabil wird.

Allerdings muss keine Ableitung berechnet werden!

## Sekanten-Verfahren



Beim Sekantenverfahren kann es vorkommen, dass eine  $x_{n+1}$  nicht im Intervall  $[x_{n-1}; x_n]$  liegt.

Das heißt, dass das Sekantenverfahren **keine Intervallschachtelung** von  $x^*$  berechnet.

## Bisektionsverfahren

Beim **Bisektionsverfahren** geht man davon aus, dass zwei Stellen  $a_0, b_0 \in \mathbb{R}$ , so dass  $f(a_0) \cdot f(b_0) < 0$  gilt.

Ist  $c_0 = \frac{a_0 + b_0}{2}$  eine Nullstelle, terminiert das Verfahren.

Setze  $a_1 = a_0$  und  $b_1 = c_0$ , wenn  $f(a_0)f(c_0) < 0$ .

Setze  $a_1 = c_0$  und  $b_1 = b_0$ , wenn  $f(b_0)f(c_0) < 0$ .

Damit gilt nun ebenfalls  $f(a_1)f(b_1) < 0$ , aber die Länge des Intervalls wurde halbiert. Nach  $n$  Schritten gilt also

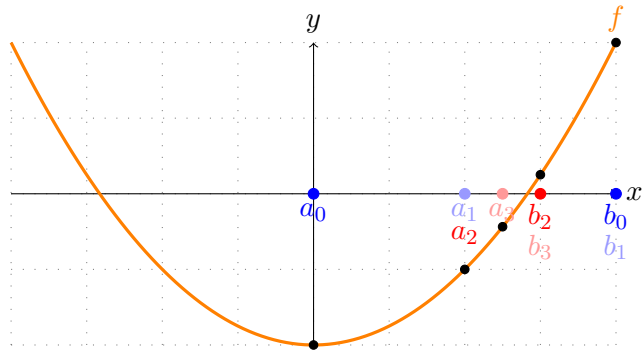
$$|a_n - b_n| = \frac{1}{2^n} |a_0 - b_0|$$

Für die Nullstelle  $x^*$  gilt insbesondere

$$|a_n - x^*| + |b_n - x^*| = |a_n - b_n| = \frac{1}{2^n} (|a_0 - x^*| + |b_0 - x^*|)$$



## Bisektionsverfahren



Beim Bisektionsverfahren wird eine Intervallschachtelung von  $x^*$  berechnet.

Das Verfahren benutzt nur die Stetigkeit von  $f$ .

## Regula Falsi

Beim Bisektionsverfahren konvergiert also weder  $a_n$  noch  $b_n$  linear, aber die Summe der Fehler sinkt linear.

Das **Regula Falsi-Verfahren** verbindet die Ideen des Sekantenverfahrens mit dem Bisektionsverfahrens.

Es werden wieder die Intervallgrenzen in jedem Schritt verbessert. Allerdings wird bei der Berechnung von  $c_n$  die Sekanteniteration benutzt.

Da in jedem Schritt  $f(a_n)f(b_n) < 0$  gilt, liegt  $c_n$  im Intervall  $[a_n, b_n]$ .

Damit kann es vorkommen, dass die Länge des Intervalls schneller sinkt.

Allerdings kann es auch vorkommen, dass  $|b_n - a_n|$  keine Nullfolge mehr ist.

IN0019 - Numerisches Programmieren

8. Iterationsverfahren – 31 / 32

## Praktische Nullstellen-Berechnung

In der Praxis wird oft eine Kombination von **Bisektion** und **Newton** benutzt.

Starte mit sicherer Bisektion, bis der Einzugsbereich der quadratischen Konvergenz des Newtonverfahrens erreicht ist.

Dazu benötigt man Stellen  $a$  und  $b$  mit  $f(a)f(b) < 0$ .

Dies kann man durch äquidistante Auswertungen oder mit Hilfe von Zufallszahlen erreichen.

Falls man keine solche Stellen  $a$  und  $b$  findet, liegt eventuell keine Nullstelle vor oder eine Nullstelle gerader Ordnung.

Nullstellen gerader Ordnung kann man finden, indem man das Newton-Verfahren bzgl. der Ableitung  $f'$  anwendet.

IN0019 - Numerisches Programmieren

8. Iterationsverfahren – 32 / 32